

پرسی تأثیر فلز روی و عملیات حرارتی پیروزی بر مقاومت به خزش فروروندگی در آلیاژ $\text{Mg}-5\% \text{Sn}$

امیر عابدی^(۱) بهرام نامی^(۲) مهدی یدالهی^(۳)

چکیده

در این تحقیق، تأثیر فلز روی و عملیات حرارتی پیروزی بر خواص خزشی فروروندگی در آلیاژ $\text{Mg}-5\% \text{Sn}$ بررسی شده است. خواص خزشی با استفاده از روش خزش فروروندگی با استوانه‌ای شکل در محلوده تنش $\sigma_{imp} < 450 \text{ MPa}$ و در دمای 270 MPa در 150°C ، 175°C و 200°C انجام شد. نتایج نشان دادند که فرایند پیروزی منجر به ایجاد رسوب‌های Mg_2Sn درون دانه‌ها می‌شود و با افزودن فلز روی به آلیاژ پایه‌ی $\text{Mg}-5\% \text{Sn}$ مقاومت به خزش بهبود می‌یابد. این بهبود مقاومت به خزش به افزایش میزان رسوب‌های Mg_2Sn و تغییر جهت گیری آن‌ها نسبت داده شد. با محاسبه‌ی انرژی فعالسازی خزش و توان تنش، مشخص شد که در شرایط این تحقیق، خزش نابجایی کنترل شونده توسط صعود سازوکار غالب در تعییر شکل خزشی هر دو آلیاژ در حالت‌های ریختگی و پیر شده بوده است.

واژه‌های کلیدی آلیاژ منزیم-قلع، خزش فروروندگی، پیروزی، خزش نابجایی کنترل شونده توسط صعود.

An Investigation into the Effect of Zinc and Age Hardening Treatment on Impression Creep Resistance of Mg-5%Sn Alloy

M. Yadollahi

B. Nami

A. Abedi

Abstract

In this article, the effects of adding Zn and conducting age hardening treatment on impression creep properties of Mg-5%Sn alloy have been investigated. The creep tests were carried out using impression creep method in which a cylindrical punch was used to apply the stress in range of $450 \text{ MPa} < \sigma_{imp} < 270 \text{ MPa}$ and at the test temperatures of 150 , 175 and 200°C . The results showed that age hardening treatment can make the distribution of Mg_2Sn precipitates more uniform within the grains. Additions of 0.6% Zn to the alloy improved its creep properties and this effect was attributed to the greater amount of precipitates formed on the non-basal planes and to their homogenous distribution in the microstructure. The values of stress exponent and activation energies determined in this investigation indicated that the pipe diffusion controlled by dislocation climb is the dominant creep mechanism for both Mg-5%Sn and Mg-5%Sn-0.6%Zn alloys under the conditions used in this study.

Keywords Mg-Sn alloy, Impression creep, Aging, Climb controlled dislocation creep.

* نسخه‌ی نخست مقاله در تاریخ ۹۰/۱۰/۲۵ و نسخه‌ی پایانی آن در تاریخ ۹۲/۵/۶ به دفتر نشریه رسیده است.

(۱) دانشجوی کارشناسی ارشد، دانشکده مهندسی مکانیک، دانشگاه تربیت دبیر شهید رجایی

(۲) نویسنده‌ی مسئول، استادیار، دانشکده مهندسی مکانیک، دانشگاه تربیت دبیر شهید رجایی

(۳) استادیار، دانشکده مهندسی مکانیک، دانشگاه تربیت دبیر شهید رجایی

در دماهای بالا کار می‌کنند، در نظر گرفته شده‌اند. نتایج بررسی‌های قبلی نشان داده‌اند که سختی و استحکام خزشی آلیاژهای Mg-Sn با افزایش میزان قلع افزایش پیدا می‌کند، در حالی که استحکام کششی و ازدیاد طول نسبی تا ۵ درصد وزنی قلع افزایش و در مقادیر بالاتر قلع، منجر به کاهش آن‌ها می‌شود [8].

خواص خزش فشاری آلیاژ Mg-5%Sn در دو حالت ریختگی و پیرسازی شده توسط وی و همکاران، [2]، مطالعه شده است. آن‌ها بیان کرده‌اند که عملیات حرارتی پیرسازی منجر به بهبود خواص خزشی می‌شود. دلیل این رفتار به تشکیل رسوب‌های خزشی می‌شود. درون فاز زمینه نسبت داده شده است. ریز Mg₂Sn درون فاز زمینه نسبت داده شده است. نتایج مطالعات قبلی، [9,11]، نشان داده‌اند که عناصری مانند نقره، روی، آلومینیم و سدیم باعث تسریع فرایند پیرسختی و افزایش سختی بیشینه در آلیاژهای Mg-Sn می‌شوند. دلیل آن به افزایش چگالی و کسر حجمی رسوب Mg₂Sn و اصلاح و تغییر مورفولوژی این نوع رسوب نسبت داده شده است که در واقع، با اندرکنش با نابجایی‌ها در صفحه‌های لغزش باعث بهبود خواص مکانیکی می‌شوند. در میان این عناصر، فلز روی جزو عناصر ارزان و در دسترس است. ساساکی و همکاران، [11]، نشان داده‌اند که افزودن روی تا ۰/۵ درصد وزنی باعث تسریع فرایند پیرسختی و افزایش سختی بیشینه می‌شود، در حالی که مقادیر بالاتر روی تأثیر اندکی بر سختی بیشینه دارد، ولی باعث کند شدن مرحله‌ی پیرسختی می‌شود. با توجه به اطلاعات محدود موجود در زمینه‌ی تأثیر روی بر خواص خزشی آلیاژ-Mg-Sn، در این تحقیق تأثیر فلز روی و عملیات پیرسازی بر خواص خزشی آلیاژ Mg-5%Sn به‌روش فروروندگی بررسی شده است.

روش پژوهش

برای تهیی آلیاژ Mg-5%Sn، از شمش منیزیم با درجهٔ خلوص ۹۹/۵ درصد و قلع و روی با

مقدمه

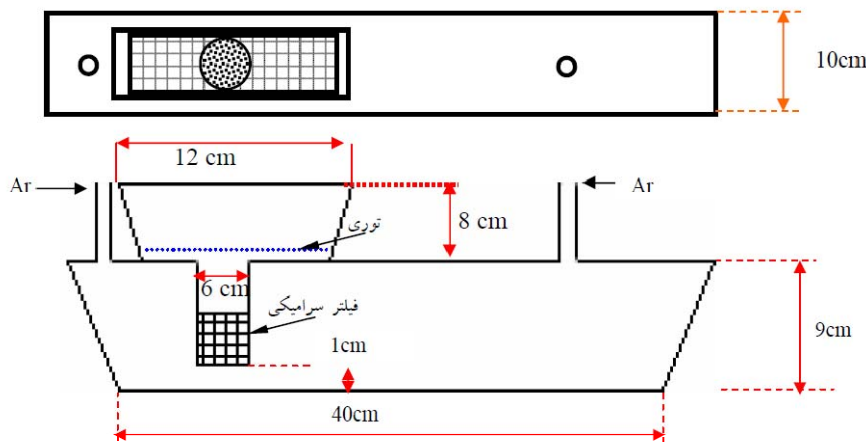
آلیاژهای منیزیم به‌دلیل چگالی پایین، پتانسیل بالای برای استفاده در صنعت خودروسازی را دارند. با در نظر گرفتن این موضوع و با توجه به تقاضای زیاد برای کاهش وزن وسایل نقلیه به‌منظور بهینه‌سازی مصرف سوخت، تحقیقات زیادی برای استفاده از آلیاژهای منیزیم با ترکیبات مختلف در این صنعت انجام گرفته است [1,2]. در میان آلیاژهای تجاری منیزیم، آلیاژهای سری AZ به‌دلیل قابلیت ریخته‌گری بالا کاربرد زیادی در صنایع خودرو دارند [1,3]. با این وجود، آلیاژهای سری AZ با مقادیر بالاتر آلومینیم مقاومت خزشی کم‌تری را در دماهای بالا دارند. دلیل آن را می‌توان به تشکیل فاز Mg₁₇Al₁₂ در ریزساختار آلیاژ نسبت داد که مقاومت خوبی در دماهای بالا از خود نشان نمی‌دهد. به‌همین دلیل، انواع دیگر آلیاژی منیزیم مطرح شده‌اند [2]. یکی از مشخصه‌های مورد نیاز برای آلیاژهای به‌کار رفته در اجزای موتور خودروها، خواص مکانیکی مناسب در محدوده دمای ۱۵۰-۲۰۰°C و تنش ۵۰ تا ۷۰ مگاپاسکال است [4]. آلیاژهای مرسوم منیزیم-آلومینیم مانند AZ91 در حالت ریختگی تزریقی به‌دلیل نامطلوب بودن خواص مکانیکی در دماهای بالاتر از ۲۰°C، نمی‌توانند در تولید این قطعات مورد استفاده قرار گیرند [4,6].

در میان آلیاژهای منیزیم، آلیاژهای سری Mg-Sn جزو آلیاژهایی هستند که از سال ۲۰۰۰ به بعد مورد توجه ویژه‌ای قرار گرفته‌اند. فاز بین فلزی Mg₂Sn در این آلیاژها، نقطه‌ی ذوب بالاتری (۷۷۰ °C) نسبت به فاز Mg₁₂Al₁₂ (با نقطه‌ی ذوب ۴۶۹ °C) در آلیاژهای Mg-Al دارد. بنابراین، آلیاژهای Mg-Sn مقاومت به خزش بالاتری را نسبت به آلیاژهای Mg-Al در دماهای مختلف از خود نشان می‌دهند [2-7]. به‌دلیل کاهش حلالیت قلع در منیزیم با کاهش دما و ایجاد فاز Mg₂Sn با پایداری حرارتی بالا، این آلیاژها به عنوان آلیاژهایی با مقاومت حرارتی بالا برای تولید قطعاتی که

گرافیت پوشانده شد و بر روی آن‌ها درپوش فلزی گذاشته شد. سپس، در ظروف توسط گل نسوز مسدود شد. عملیات محلول‌سازی بر روی نمونه‌ها به مدت زمان ۷۱ ساعت در دمای 510°C انجام گرفت و سپس نمونه‌ها در آب سریع سرد شدند. نمونه‌های محلول‌سازی شده، در دمای 200°C به مدت زمان ۷۰ ساعت پیر شدند. پس از انجام عملیات پیرسازی، دو سطح نمونه با استفاده از سمباده‌های 200°C تا 1500°C پرداخت شدند. برای انجام آزمایش خرزش، یک دستگاه خرزش از نوع فرورونده طراحی و ساخته شد. در شکل (۲)، تصویر دستگاه خرزش فروروندگی نشان داده شده است. دقّت کوره‌ی استفاده شده در دستگاه $1^{\circ}\text{C} \pm 1$ بود. به منظور اعمال نیرو، از فرورونده‌ی استوانه‌ای شکل از جنس کاربید تنگستن به قطر 2 mm میلی‌متر استفاده شد. عمق فرورفته توسط دستگاه مبدل اندازه گیری تغییرات خطی (LVDT) با دقّت $1\text{ }\mu\text{m}$ میکرومتر اندازه گیری شد. آزمون‌های خرزش فروروندگی در دماهای 150°C ، 175°C و 200°C و در محلوده تنشی $\sigma_{\text{imp}} < 450\text{ MPa}$ انجام شدند و نمودارهای تغییرات عمق فرورفتگی بر حسب زمان به دست آمد. برای بررسی‌های ریزساختاری، سطح نمونه‌ها با سمباده‌های 200°C تا 500°C پرداخت شدند و برای صیقل‌کاری نهایی، از خمیر الماسه به اندازه ذرهی $1\text{ }\mu\text{m}$ استفاده شد. برای حکاکی نمونه‌ها، از محلول نایتال 2 mm درصد به مدت زمان 5 s استفاده شد و ریزساختارها به کمک میکروسکوپ الکترونی مطالعه شدند. با توجه به وجود مقدار اندکی فاز Mg_2Sn شدنی، با توجه به صورت حل نشده در نمونه‌های عملیات حرارتی شده و برای حذف تأثیر آن بر روی سختی، سختی فاز زمینه با استفاده از روش ریزسختی سنگی ویکرز با نیروی 25 kg اندازه گیری شد.

درجه‌ی خلوص $99/9$ درصد وزنی استفاده شد. ابتدا مینزیم درون بوته‌ی گرافیتی پیش‌گرم شده تا دمای 200°C قرار داده شد و سپس، بوته در یک کوره‌ی مقاومتی با دمای 770°C و تحت محیط مخلوط هوا و گاز SO_2 قرار گرفت. پس از ذوب شدن مینزیم، قلع به آن اضافه شد و برای به دست آوردن ترکیبی یکنواخت، مذاب به مدت زمان 30 s هم زده شد. پس از آماده شدن مذاب، سرباره‌گیری در محیط SO_2 انجام شد و مذاب در قالب فلزی پیش‌گرم شده تا دمای 250°C ریخته شد. در شکل (۱)، تصویر طرح گونه از قالب فلزی نشان داده شده است. به منظور ممانعت از اکسایش مذاب حین باریزی، گاز آرگون با دبی $15\text{ l}/\text{min}$ در دقیقه درون قالب تزریق شد. برای افزودن روی به آلیاژ $\text{Mg}-5\%\text{Sn}$ ، مراحل گفته شده تکرار شد و فلز روی در آخرین مرحله اضافه شد. در جدول (۱)، ترکیب شیمیایی دو آلیاژ آورده شده است. با توجه به درشت بودن ساختار شمش تولیدی و عدم یکنواختی ریزساختار در نقاط مختلف، نمونه‌هایی به ابعاد $50 \times 50 \times 150\text{ mm}^3$ میلی‌متر از شمش‌ها جدا شدند و استوانه‌هایی از آن‌ها به قطر و ارتفاع به ترتیب 36 mm و 150 mm متر تهیه شد. سپس، نمونه‌های استوانه‌ای شکل در یک بوته‌ی فولادی به قطر 38 mm و ارتفاع 200 mm میلی‌متر قرار داده شد و بوته درون کوره‌ی مقاومتی در دمای 700°C قرار داده شد. بعد از آماده شدن ذوب، بوته از کوره خارج شد و درون آب سریع سرد شد. سرعت بالای سرمایش نمونه‌ها موجب تشکیل ساختاری تقریباً یکنواخت و ریز می‌شود. نمونه‌های استوانه‌ای شکل به قطر 38 mm و ارتفاع 6 mm میلی‌متر از نمونه‌های سریع سرد شده تهیه شد.

برای انجام عملیات حرارتی، از یک کوره‌ی مقاومتی با تغییرات دمایی $0^{\circ}\text{C} \pm 2^{\circ}\text{C}$ استفاده شد. برای جلوگیری از اکسایش هنگام عملیات حرارتی، نمونه‌ها درون ظروف آهنی قرار داده شدند و روی آن‌ها با پودر



شکل ۱ طرح وارهای از قالب مورد استفاده برای تولید شمش اوپله

جدول ۱ ترکیب شیمیابی آلیاژها

آلیاژ	Sn درصد وزنی	Zn درصد وزنی	Mg باقی مانده
Mg-5%Sn	5.2 ± 0.2	--	باقی مانده
Mg-5%Sn-0.6%Zn	4.9 ± 0.2	0.6	باقی مانده



شکل ۲ تصویر دستگاه خزش ساخته شده در این تحقیق

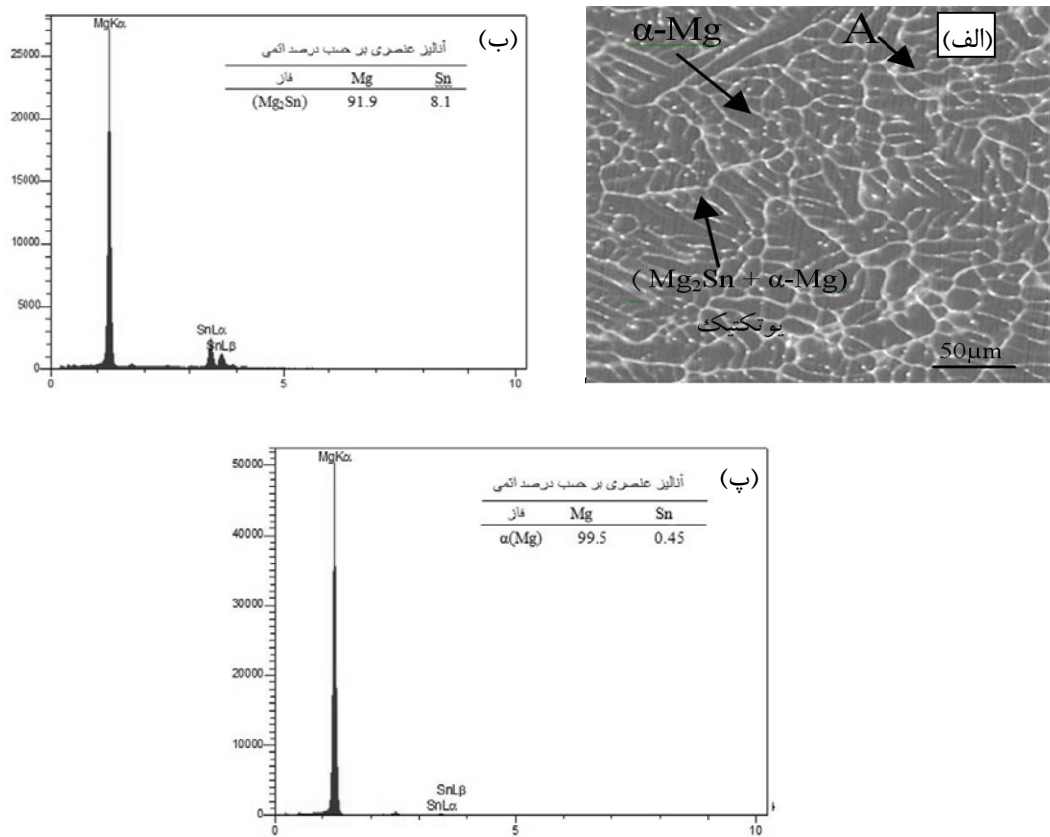
ریختگی آلیاژهای Mg-5%Sn و Mg-5%Sn-0.6%Zn به همراه طیف EDX از فازها را نشان می‌دهند. تصویرهای SEM از دو آلیاژ نشان‌دهنده‌ی وجود یک

نتایج و بحث
بررسی ریزساختار. شکل‌های (۳) و (۴)، تصویر میکروسکوپ الکترونی از ریزساختار نمونه‌ی

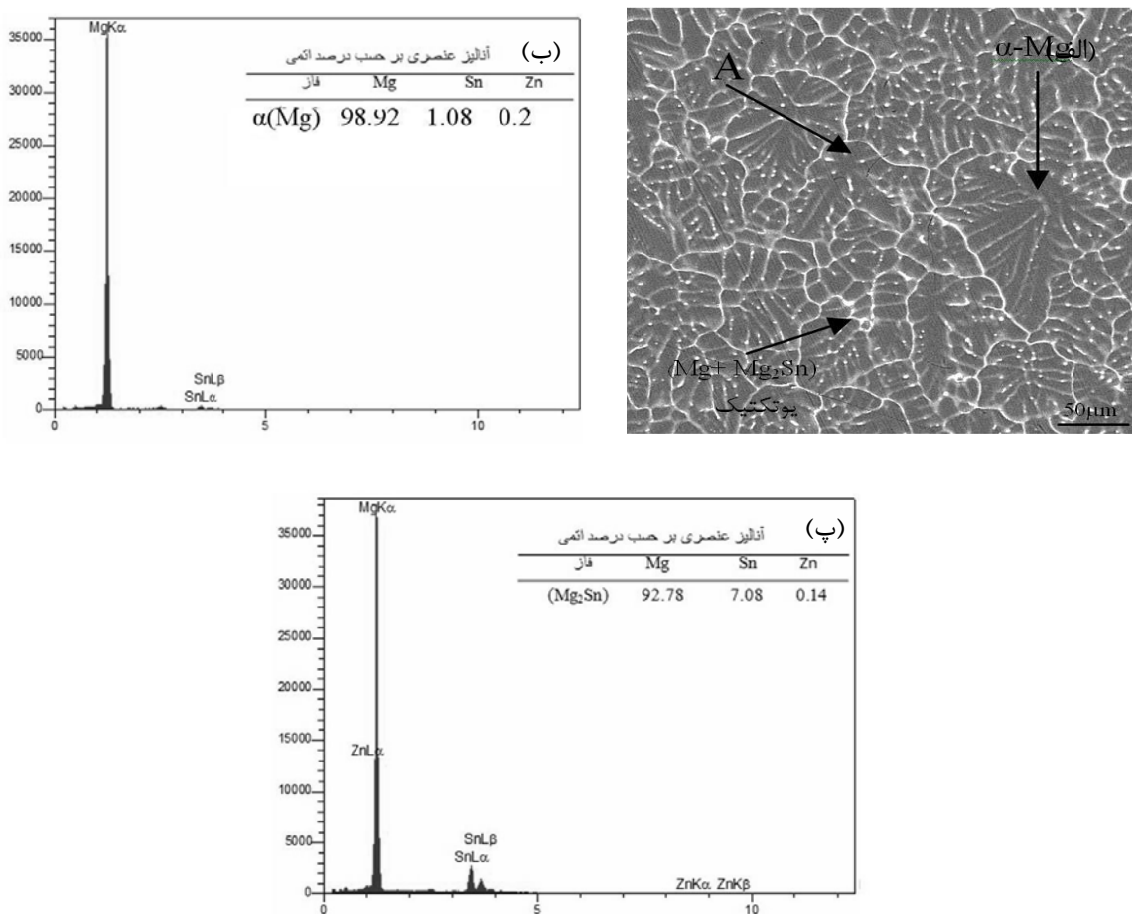
مربوط به آلیاژ Mg-5%Sn-0.6%Zn در حالت ریختگی در شکل (۵) آورده شده است. مطابق با جزئیات این طیف، ریزساختار آلیاژ از فاز زمینه $\alpha(Mg)$ و ترکیب بین فلزی Mg_2Sn تشکیل شده است و با افزودن فلز روی به آلیاژ Mg-5%Sn، فاز جدیدی تشکیل نشده است.

شکل (۶) تصویر میکروسکوپ الکترونی SEM از آلیاژهای پرسازی شده در دمای $200^{\circ}C$ به مدت زمان ۷۰ ساعت را نشان می‌دهد. همان‌طور که مشاهده می‌شود، ریزساختار به طور چشمگیری تغییر کرده است و رسوبات ریز در درون فاز زمینه $\alpha(Mg)$ توزیع شده‌اند. افزون بر این، مقدار رسوبات در آلیاژ حاوی فلز روی بیشتر از آلیاژ دیگر است.

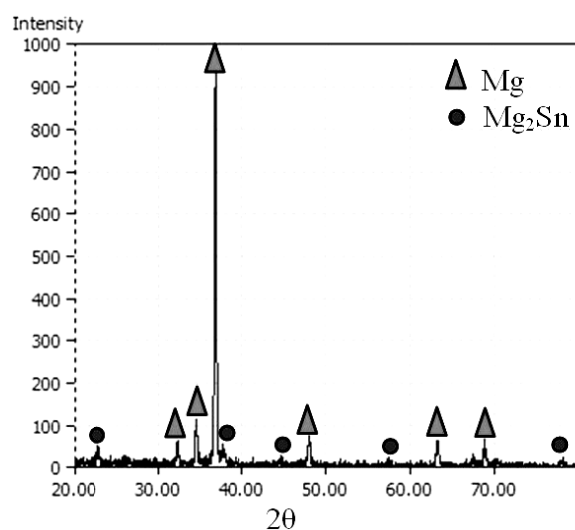
ساختار دندانی و مخلوط یوتکتیک در مناطق بین دندانی است. همان‌گونه که در این تصویرها دیده می‌شود، فلز روی تأثیر قابل توجهی بر ریزساختار آلیاژ Mg-5%Sn در حالت ریختگی نداشته است و ریزساختار دو آلیاژ شبیه به یکدیگرند. طیف EDX از فاز زمینه نشان‌دهنده حلالیت کم Sn در این فاز می‌باشد و بیشتر فلز روی در فاز بین فلزی توزیع شده است. با توجه به طیف EDX، ترکیبات موجود در مناطق بین فلزی در هر دو آلیاژ از فلزات منیزیم و قلع تشکیل شده‌اند. مشاهده می‌شود که فلز روی در هر دو فاز زمینه و ترکیبات غنی از قلع در آلیاژ Mg-5%Sn ۰.۶%Zn توزیع شده است. به‌منظور شناسایی دقیق‌تر فازهای موجود در ریزساختار، طیف پراش اشعه X



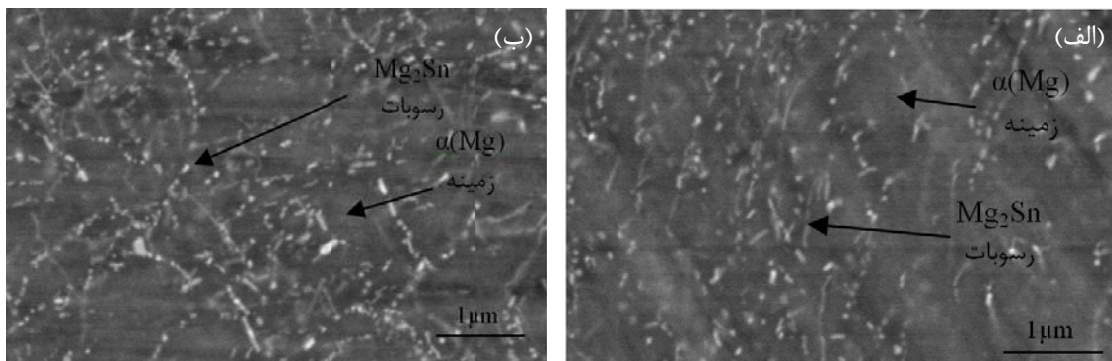
شکل ۳ تصویر SEM از آلیاژ ریختگی Mg-5%Sn: (الف) تصویر الکترون ثانویه، ب) طیف EDX از فاز زمینه و پ) طیف EDX مربوط به ترکیبات بین فلزی



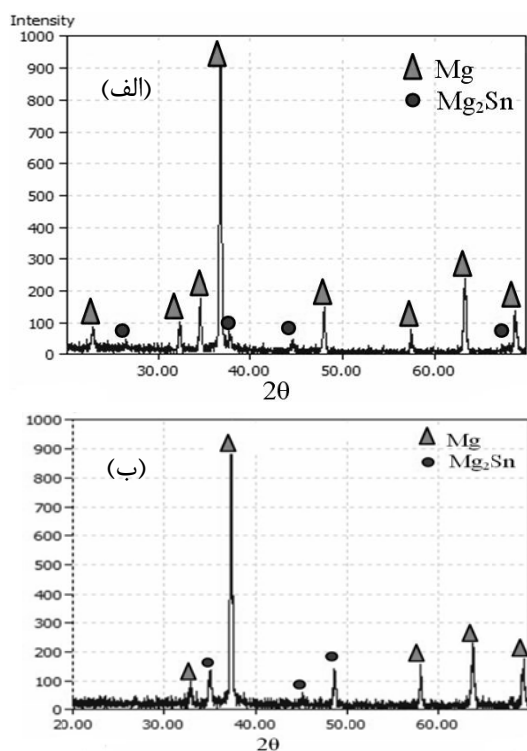
شکل ٤ تصویر SEM از آبیاز ریختگی Mg-5%Sn-0.6%Zn
ب) طیف EDX از فاز زمینه و پ) طیف EDX مربوط به ترکیبات بین فلزی



شکل ٥ طیف پراش اشعه X مربوط به آبیاز Mg-5%Sn-0.6%Zn در حالت ریختگی

شکل ۶ تصویر SEM از آلیاژها بعد از عملیات حرارتی پرسازی در دمای 200°C به مدت زمان ۷۰ ساعت:

(الف) آلیاژ Mg-5%Sn-0.6%Zn و (ب) آلیاژ Mg-5%Sn

شکل ۷ الگوی پراش اشعه X مربوط به آلیاژها پس از پرسازی در دمای 200°C به مدت زمان ۷۰ ساعت:

(الف) آلیاژ Mg-5%Sn-0.6%Zn و (ب) آلیاژ Mg-5%Sn

که کسر حجمی رسوبات در آلیاژ حاوی فلز روی افزایش یافته است، و این انطباق خوبی با نتایج موجود در منابع دارد [9-11].

رفتار پیرسختی آلیاژ، تغییرات سختی آلیاژها در دمای 200°C بر حسب زمان در شکل (۸) نشان داده شده است. همان‌گونه که مشاهده می‌شود، افزایش سختی آلیاژها بر حسب زمان قابل توجه نیست. نتایج

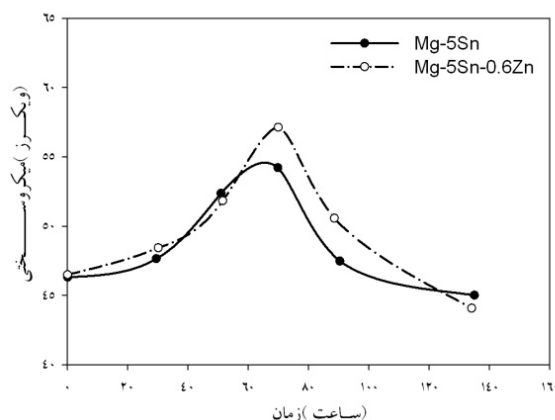
الگوی پراش اشعه X مربوط به آلیاژها پس از عملیات پرسازی در شکل (۷) نشان داده شده است. مشاهده می‌شود که در هر دو آلیاژ پس از عملیات پرسازی، ریزساختار از دو فاز $\alpha(\text{Mg})$ و Mg_2Sn تشکیل شده است. مطابق با مطالب موجود در منابع، فاز بین فلزی Mg_2Sn به صورت رسوبات لایه‌ای و کروی غیرپیوسته می‌تواند در ریزساختار وجود داشته باشد [9]. با مقایسه ریزساختارها مشخص می‌شود

ثانويه تشکيل شده است و مرحله‌ی سوم خرمش در آن‌ها دیده نمی‌شود. دليل عدم وجود ناحبه‌ی سوم خرمش در اين نمودارها، ماهيّت فشاری آزمایش و به‌كارگيری تنش ثابت می‌باشد. همان‌طور که مشاهده می‌شود، سرعت فرورونديگي با گذشت زمان کوتاه‌تر كاهش يافته است و پس از آن، به ميزان ثابتی رسيد. مشاهده است که اين بيان‌گر خرمش ثانويه می‌باشد. همان‌طور که آلياژ Mg-5%Sn باعث بهبود خواص خرمش آلياژ در حالت‌های مختلف شده است و اين افزایش در حالت پير شده بيشتر است. اين رفتار بيان‌گر تأثير متفاوت فلز روی و عملیات پيرسازی بر خواص خرمش می‌باشد، به‌گونه‌ای که با افروزنده فلز روی، فرورونده در يك زمان ثابت به مقدار کمتری در نمونه فرو رفته است.

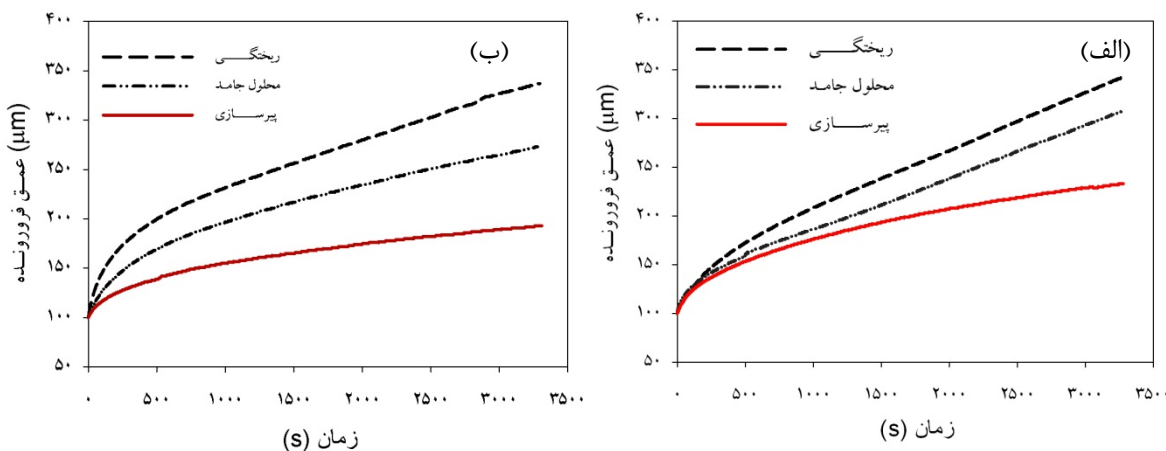
به‌منظور بررسی دقیق‌تر رفتار خرمش آلياژها، تغیيرات سرعت فرورفتن فرورونده بر حسب عمق فرورفته برای رفتار خرمش هر دو آلياژ در حالت‌های ریختگی و پيرسازی شده در دمای 175°C و تنش 300 MPa در شکل (۱۰) نشان داده شده است. با مقایسه‌ی نمودارها مشخص می‌شود که سرعت فرورفتن فرورونده در نمونه‌ی حاوي فلز روی کمتر است که اين بيان‌گر افزایش مقاومت به خرمش آلياژ می‌باشد.

مطالعات منديس و همکاران، [12]، در مورد رفتار پيرسختی آلياژ مشابه با آلياژ Mg-5%Sn در دمای 200°C نشان می‌دهد که تغیيرات سختی تا 200 ساعت ناچيز و در حد 10 ويکرز می‌باشد. در شکل (۸)، در ابتداي فرایند پيرسازی سختی دو آلياژ کمی افزایش يافته‌اند و با گذشت زمان، نمودار سختی به يك مقدار بيشينه رسيد و سپس، افت كرده است. رسيدن به بيشينه‌ی سختی را می‌توان به افزایش ميزان رسوبات همدوس Mg_2Sn در مرز و درون دانه‌ها نسبت داد. افزایش سختی در آلياژ حاوي فلز روی کمی بيشتر است. دليل آن را می‌توان به تأثير مثبت فلز روی بر توزيع يكتواخت و افزایش چگالی رسوبات Mg_2Sn مربوط دانست [9-11]. دليل كاهش سختی آلياژها پس از حدود 70 ساعت را نيز می‌توان به درشت شدن فاز Mg_2Sn و تشکيل رسوبات ناهمسيما نسبت داد.

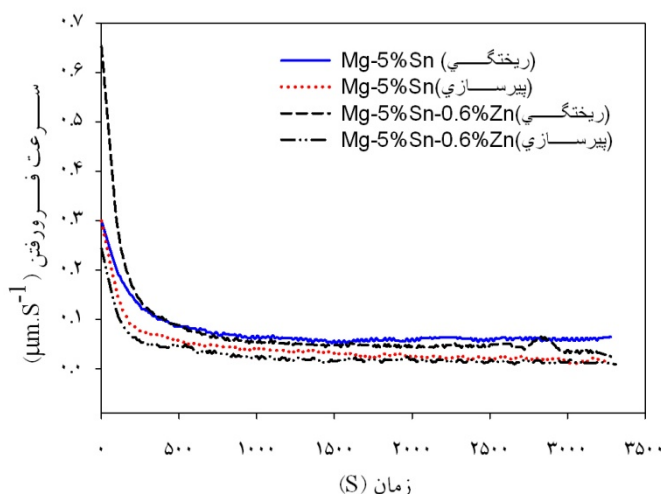
رفتار خرمش آلياژ. در شکل (۹)، نمودار خرمش آلياژهاي Mg-5%Sn-0.6%Zn و Mg-5%Sn در دمای 175°C و تنش فرورونديگي 300 MPa در حالت‌های ریختگی، محلول‌سازی شده و پير شده در کنار هم نشان داده شده است. مشاهده می‌شود که برای هر دو آلياژ، نمودارها از دو منطقه‌ی خرمش اولیه و خرمش



شکل ۸ نمودار تغیيرات سختی بر حسب زمان پيرسازی در دمای 200°C



شکل ۹ نمودار تغییرات عمق فرورفتن فرورونده با زمان برای دو آلیاژ در حالت‌های ریختگی، محلول جامد و پیر شده در دمای 175°C و تنش 300 MPa (الف) آلیاژ $\text{Mg}-5\%\text{Sn}$ و (ب) آلیاژ $\text{Mg}-5\%\text{Sn}-0.6\%\text{Zn}$



شکل ۱۰ مقایسه‌ی نمودار تغییرات سرعت فرورفتن فرورونده بر حسب زمان برای دو آلیاژ در حالت پیر شده و ریختگی در دمای 175°C و تنش فروروندگی 300 MPa

نرخ خزش کمینه و تنش اعمالی برای موادی که رفتار خزشی آنها از قانون توانی پیروی می‌کند، به وسیله‌ی رابطه‌ی زیر با یکدیگر در ارتباطند [۱۳]:

$$\dot{\varepsilon} = A \left(\frac{b}{d} \right)^p \left(\frac{GbD_0}{kT} \right)^n \exp \left(- \frac{Q_c}{RT} \right) \quad (1)$$

در این رابطه، b بردار برگرس، d اندازه‌ی دانه، p ثابت بدون بعد، G مدول برشی، D_0 ضریب فرکانس، k ثابت بولتزمن، T دما بر حسب کلوین، σ تنش اعمالی، n توان تنش، Q_c انرژی فعال‌سازی خزش، R ثابت گازها و A انرژی خطای چیدمان می‌باشد.

تعیین سازوکار خزش. به منظور افزایش مقاومت به خزش، تعیین سازوکارهای حاکم بر خزش ضروری است. با تعیین و تشخیص سازوکارهای خزش، می‌توان فرایندهای مؤثر بر کنترل سرعت تغییر شکل مواد را هنگام خزش تشخیص داد و با به تعویق اندختن آن، به افزایش چشم‌گیری در خواص خزشی دست یافت. سازوکار خزش به دو روش مطالعه‌ی ریزساختار با استفاده از میکروسکوپ الکترونی عبوری و یا تعیین توان تنش (n) و انرژی فعال سازی (Q) قابل تشخیص است.

(۱۲)، تغییرات سرعت فرورفتن بر حسب تنش اعمالی برای آلیاژهای ریختگی و پیر شده و در شکل ۱۳، تغییرات سرعت فرورفتن بر حسب $1/T$ برای آلیاژهای پیرسازی شده نشان داده شده‌اند.

همان‌گونه که مشاهده می‌شود، در محدوده دمایی $Mg-5\%Sn$ و $Mg-5\%Sn-0.6\%Zn$ ۵%Sn در حالت‌های ریختگی و پیرشده، توان تنشی بین ۴ تا ۵/۹۴ تغییر می‌کند. اگرچه توان تنشی به دست آمده در این تحقیق نشان‌دهنده‌ی سازوکار خرزش نابجایی کترل شونده توسط صعود است، اما تعیین انرژی فعال‌سازی خرزش به منظور تعیین دقیق‌تر سازوکار و تشخیص مسیر نفوذ ضروری است. بررسی انرژی فعال‌سازی در شکل (۱۳) نشان می‌دهد که میانگین این انرژی برای آلیاژ $Mg-5\%Sn$ و $Mg-5\%Sn-0.6\%Zn$ در حالت پیر شده، به ترتیب برابر با 98 kJ/mol و 83 kJ/mol است که به انرژی فعال‌سازی برای نفوذ اتم‌های منیزیم در کانال نابجایی (۹۲ kJ/mol) نزدیک است [۱۴]. با توجه به این نتایج، می‌توان گفت که سازوکار خرزش در هر دو آلیاژ، خرزش نابجایی کترل شونده توسط صعود (dislocation) (creep controlled by climb) بوده است و نفوذ در کانال نابجایی‌ها فرایند غالب نفوذی بوده است.

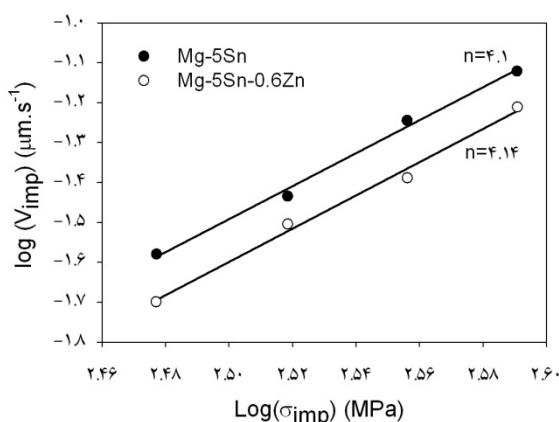
بررسی‌های انجام شده در زمینه‌ی رفتار خرزشی آلیاژ‌ها نشان داده‌اند که بین تنش σ و نرخ کرنش خرزشی $\dot{\epsilon}$ در رفتار خرزش کششی و سرعت فرورونده و تنش اعمالی در رفتار خرزش فروروندگی با فرورونده‌ی استوانه‌ای، رابطه‌ی تجربی زیر برقرار است [۱۴, ۱۵]:

$$\sigma = \frac{4F}{c_1 \pi \varphi^2} = \frac{\sigma_{imp}}{c_1} \quad \dot{\epsilon} = \frac{dh/dt}{c_2 \varphi} = \frac{V_{imp}}{c_2 \varphi} \quad (2)$$

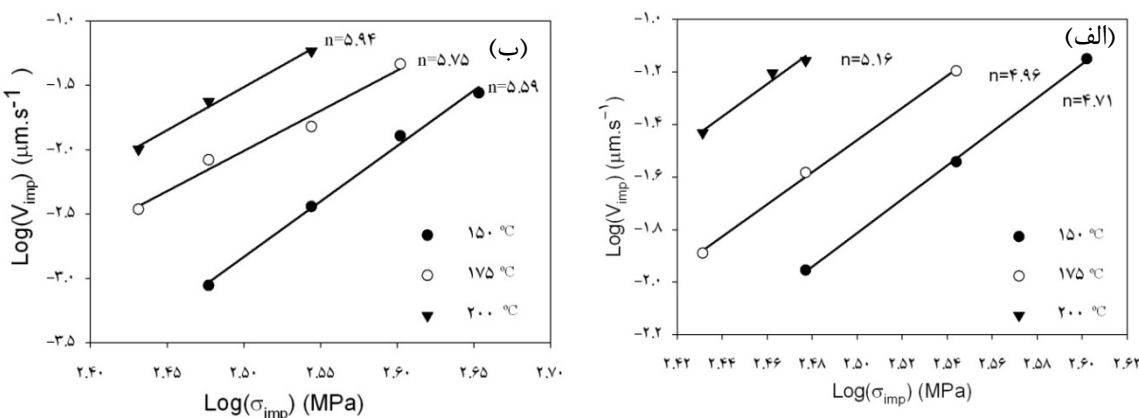
در این رابطه، c_1 و c_2 مقادیر ثابت، F نیروی اعمالی بر پانچ و φ قطر فرورونده است. با قراردادن رابطه‌ی ۲ در رابطه‌ی ۱ و مرتب کردن آن، ارتباط بین سرعت فرورونده با تنش اعمالی بر فرورونده به دست می‌آید:

$$\left(\frac{V_{imp} T}{G} \right) = A \left(\frac{\varphi c_2}{c_1^n} \right) \left(\frac{b}{d} \right)^p \left(\frac{b D_0}{k} \right) \left(\frac{\sigma_{imp}}{G} \right)^n \exp \left(\frac{Q_c}{RT} \right) \quad (3)$$

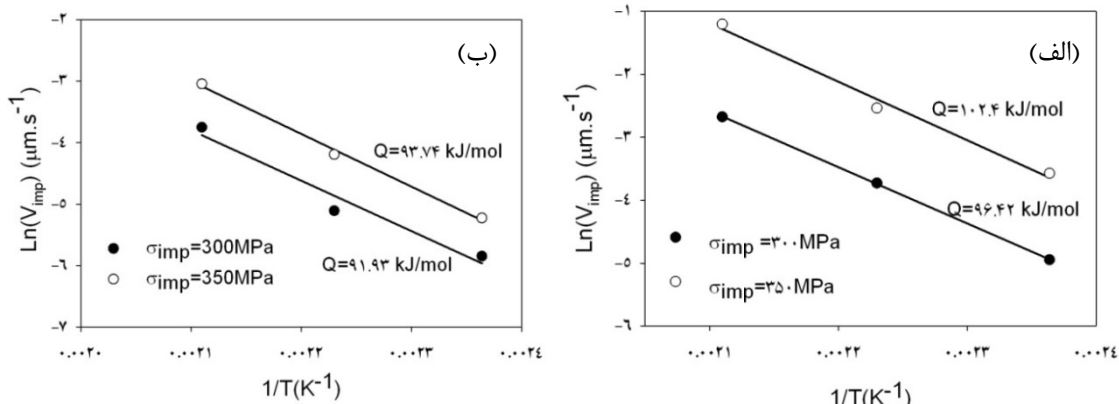
با محاسبه‌ی مقادیر n و Q در رابطه‌ی ۳ امکان تعیین سازوکار تغییر شکل خرزشی وجود دارد. با استفاده از معادله‌ی ۳، توان تنش n با محاسبه‌ی شبیه تغییرات سرعت فرورفتن (V_{imp}) بر حسب تنش فروروندگی (σ_{imp}) و انرژی فعال‌سازی (Q_c) با ترسیم نمودار لگاریتمی تغییرات سرعت فرورفتن (V_{imp}) بر حسب $1/T$ و محاسبه‌ی شبیه نمودار که برابر با $-Q_c/R$ است، به دست می‌آیند. در شکل‌های (۱۱) و



شکل ۱۱ تغییرات سرعت فرورفتن فرورونده (V_{imp}) بر حسب تنش اعمالی برای آلیاژهای ریختگی در دمای $175^\circ C$



شکل ۱۲ تغییرات سرعت فرورفتن فرورونده (V_{imp}) بر حسب تنفس اعمالی برای آلیاژهای پیر شده در دماهای مختلف:
الف) آلیاژ Mg-5%Sn و ب) آلیاژ Mg-5%Sn-0.6%Zn



شکل ۱۳ تغییرات سرعت فرورفتن فرورونده (V_{imp}) بر حسب $1/T$ برای آلیاژهای پیر شده:
الف) آلیاژ Mg-5%Sn و ب) آلیاژ Mg-5%Sn-0.6%Zn

مؤثر شامل ضریب نفوذ در شبکه (D_L) و ضریب نفوذ در کانال نابجایی (D_p) می‌باشد و از رابطه‌ی زیر به دست می‌آید [18]:

$$D_{\text{eff}} = D_L + \beta \left(\frac{\sigma}{G} \right)^2 D_p \quad (4)$$

در این رابطه، β عدد ثابت بوده و معمولاً در خرز نابجایی در شبکه HCP برای آلیاژهای منیزیم، برابر با $0/12$ است [19]. در شکل (۱۴)، تغییرات نرخ کرنش خرزی نرماله شده بر حسب تنفس نرماله شده با در نظر گرفتن ضریب نفوذ مؤثر، رسم شده است. با اनطباق مناسب‌ترین خط بر داده‌های هر آلیاژ و بر اساس محاسبات انجام شده با استفاده از معادله‌ی (۵)، مقادیر n و A برای هر سه آلیاژ در جدول (۲) آورده شده‌اند.

تعیین معادله‌ی تغییر شکل خرزشی. در معادله‌ی (۱)، رابطه‌ی کلی تغییر شکل خرزشی در رفتار خرزش کششی آلیاژها آورده شده است. در این رابطه، با محاسبه‌ی مقادیر n و A امکان تعیین معادله‌ی تغییر شکل خرزشی برای یک آلیاژ وجود خواهد داشت. با توجه به انجام آزمایشات خرزش به صورت فروروندگی، لازم است تا داده‌های به دست آمده در این تحقیق با استفاده از معادله‌ی (۲) به داده‌های خرزش کششی تبدیل شوند. در منابع موجود، [17]، مقادیر c_1 و c_2 برای آلیاژهای منیزیم به ترتیب برابر با $3/5$ و $0/5$ گزارش شده‌اند. برای تعیین دقیق معادله‌ی خرزش، استفاده از ضریب نفوذ مؤثر D_{eff} ضروری است. ضریب نفوذ

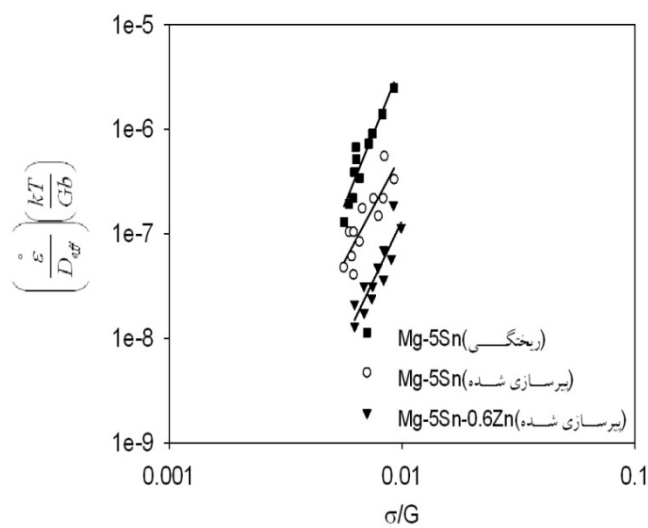
فاز زمینه می توانند باعث بهبود خواص خزشی آلیاژ شوند [16]. بنابراین، با بررسی این عوامل می توان به افزایش مقاومت به خزش آلیاژها در شرایط پیر شده و در حضور عنصر سوم پی برد.

ریزساختار آلیاژها در حالت پیر شده شامل فازهای $\alpha(\text{Mg})$ و Mg_2Sn می باشد. فاز Mg_2Sn پایداری حرارتی بالایی (در دمای 770°C) دارد. بنابراین، با افزایش میزان آن در ریزساختار مقاومت خزشی آلیاژ افزایش می یابد. همان‌طور که در شکل (۶) نشان داده شده است، فرایند پیرسازی منجر به ایجاد رسوب‌های ریز Mg_2Sn درون فاز زمینه شده است. با مقایسه‌ی شکل‌های (۶)-الف و ب، افزایش میزان رسوب‌ها در آلیاژ حاوی فلز روی قابل مشاهده است و این یکی از دلایل بهتر بودن خواص خزشی این آلیاژ نسبت به آلیاژ پایه است.

همان‌طور که در شکل (۱۴) مشاهده می‌شود، در تمام محلاًده‌های تنفسی استفاده شده، نمودار مربوط به آلیاژهای $\text{Mg}-5\% \text{Sn}-0.6\% \text{Zn}$ و $\text{Mg}-5\% \text{Sn}$ پیر شده پایین‌تر از آلیاژ ریختگی $\text{Mg}-5\% \text{Sn}$ می‌باشد و آلیاژ حاوی فلز روی بهترین مقاومت خزشی را دارد.

$$\varepsilon_s^\circ = A \left(\frac{Gb}{kT} \right)^n \left[D_L + 0.12 \left(\frac{\sigma}{G} \right)^2 D_P \right] \quad (5)$$

خواص خزشی. همان‌طور که اشاره شد، تغییر شکل خزشی آلیاژهای مورد مطالعه در این تحقیق در شرایط دمایی و تنفس اعمالی، با سازوکار خزش ناجایی کنترل شونده توسط صعود انجام شده است. در این سازوکار خزش، عواملی مانند کاهش میزان فازهای نرم در ریزساختار، ایجاد رسوبات با پایداری حرارتی بالا درون دانه‌ها و مرزدانه‌ها، افزایش رسوبات در حضور عنصر سوم و کاهش انرژی خطای چیدمان



شکل ۱۴ تغییرات نرخ کرنش خزشی نرماله شده بر حسب تنفس نرماله شده برای آلیاژهای $\text{Mg}-5\% \text{Sn}$ و $\text{Mg}-5\% \text{Sn}-0.6\% \text{Zn}$.

جدول ۲ مقادیر n و A در معادله ۵ برای آلیاژها در حالت ریختگی و پیر شده

آلیاژ	A	n
Mg-5%Sn ریختگی	$3/11 \times 10^4$	۵/۶۷
Mg-5%Sn پیر شده	$3/16 \times 10^4$	۵/۴۴
Mg-5%Sn-0.6%Zn پیر شده	$2/75 \times 10^4$	۵/۵

حرارتی پیرسازی بر مقاومت به خزش از نوع فرورونگی در آلیاژ Mg-5%Sn مطالعه شد و نتایج زیر به دست آمد:

- ۱- با انجام عملیات حرارتی پیرسازی بر روی آلیاژ (Mg₂Sn) کسر حجمی رسوب‌ها افزایش یافت و توزیع یکنواختی از آن‌ها درون دانه‌ها به دست آمد. این رسوب‌ها با ایجاد ممانعت در برابر حرکت نابجایی‌ها، سبب کاهش نرخ خزش حالت پایدار و بهبود مقاومت به خزش آلیاژ شدند.
- ۲- افزودن فلز روی به آلیاژ باعث افزایش مقاومت به خزش در حالت پیر شده شد. دلیل این رفتار به افزایش کسر حجمی رسوب‌ها و جهت‌گیری مناسب آن‌ها نسبت داده شد.
- ۳- مقدار عددی توان تنشی در آلیاژهای ریختگی و پیر شده در این تحقیق، بین ۴ تا ۶ به دست آمد که نشان‌دهنده وقوع خزش نابجایی کترل شونده توسط صعود نابجایی می‌باشد.
- ۴- معادله‌ی تغییر شکل برای آلیاژهای Mg-5%Sn و Mg-5%Sn-0.6%Zn تعیین شد. با استفاده از این معادله، امکان تعیین نرخ کرنش خزش ثانویه در سازوکار خزش نابجایی کترل شونده توسط صعود وجود خواهد داشت.

دلایل دیگر بالاتر بودن مقاومت به خزش آلیاژ حاوی فلز روی نسبت به آلیاژ Mg-5%Sn را می‌توان به تشکیل رسوب‌ها در صفحه‌های فرعی، توزیع یکنواخت و جهت‌گیری مناسب‌تر آن‌ها نسبت داد [9-12]. مِندیس و همکاران، [12]، بیان کرده‌اند که رسوب‌ها در آلیاژهای Mg-Sn به شکل صفحه‌ای و موازی با صفحه‌ی لغزش تشکیل می‌شوند. از طرف دیگر، در آلیاژ حاوی فلز روی سه نوع رسوب با جهت‌گیری مختلف تشکیل می‌شوند. یک گروه همانند آلیاژهای Mg-Sn، به شکل صفحه‌ای و در راستای صفحه‌ی لغزش تشکیل می‌شود. گروه دیگر با نسبت ابعادی کوچک‌تر نسبت به رسوب‌های نوع اول، در صفحه‌های منشوری و در جهت [0001] تشکیل می‌شوند. گروه سوم رسوب‌ها در صفحه‌های هرمی رشد می‌کنند. بر اساس اطلاعات موجود در منابع، [20]، رسوب‌های صفحه‌ای شکل و موازی با صفحات لغزش، کم‌ترین ممانعت را در برابر حرکت نابجایی از خود نشان می‌دهند و رسوب‌های عمود بر جهت لغزش (رسوب‌های نوع دوم) بهترین نوع برای بهبود خواص مکانیکی هستند. صفحه‌ی قاعده در آلیاژهای منیزیم، صفحه‌ی لغزش است. در نتیجه، رسوب‌های نوع دوم و سوم در آلیاژ حاوی فلز روی مقاومت خوبی در برابر حرکت نابجایی دارند و به این ترتیب، منجر به بهبود خواص خزشی می‌شوند.

نتیجه‌گیری

در تحقیق حاضر، تأثیر فلز روی و عملیات

مراجع

1. K.U.kainer, magnesium-Alloys and technologies, Germany, wiley-VCH, 1the edition,pp.1-15, (2003).
2. S.Wei, Y. Chen, Y. Tang, H. Liu, S. Xiao, G. Niu, X. Zhang, Y. Zhaoa, "Compressive creep behavior of as-cast and aging-treated Mg-5wt% Sn alloys", *Materials Science and Engineering, A* 492, PP. 20-23, (2008).
3. Z.Yang, J.P. Li, J.X. Zhang, G.W. Lori Mer, J. Robson, Review on research and development of magnesium alloy, *Acta Metal. Sin.(Engl.Lett)* 21, PP. 313-328, (2008).

4. M .O. Pekguleryuz, A.A. Kaya, Creep resistant magnesium alloys for Power train applications, Proceedings of the 6th International Conference Magnesium- Alloys and Their Applications, PP. 74-93, (2003).
5. M. Regev, E. Aghion, S. Berger, M. Bamberger, A. Rosen, Dislocation analysis of crept AZ91D ingot castings, Materials Science and Engineering, A 257, PP. 349–352, (1998).
6. F.H. Froes, D. Eliezer, E. Aghion, The science, technology, and applications of magnesium, JOM 50(9), PP. 30–34, (1998).
7. H. Liu, Y. Chen, Y. Tang, S. Wei, G. Niu, Tensile and indentation creep behavior of Mg–5% Sn and Mg–5% Sn–2% Di alloys, Materials Science and Engineering, A 464, PP. 124–128, (2007).
8. H. Liu, Y. Chen, Y. Tang, S. Wei, G. Niu, The microstructure, tensile properties, and creep behavior of as-cast Mg–(1–10)%Sn alloys, Journal of Alloys and Compounds 440, PP. 122–126, (2007).
9. T.T. Sasaki, K. Ohishi, T. Ohkubo, K. Hono, Enhanced age hardening response by the addition of Zn in Mg–Sn alloys, Scripta Materialia 55, PP. 251-254, (2006).
10. X. F. Huang, W. Z. Zhang, Improved age-hardening behavior of Mg–Sn–Mn alloy by addition of Ag and Zn, Materials Science and Engineering, A 552, PP. 211– 221, (2012).
11. T.T. Sasaki, T.D. Ju, K. Hono, K.S. Shin, Heat-treatable Mg–Sn–Zn wrought alloy, Scripta Materialia 61, PP. 80-83, (2009).
12. C.L. Mendis, C.J. Bettles, M.A. Gibson, C.R. Hutchinson, An enhanced age hardening response in Mg–Sn based alloys containing Zn, Materials Science and Engineering,A 435–436 , PP. 163–171, (2006).
13. M.E. Kissner , M.T.P. Prado, Fundamentals of creep in metals and alloys, Elsevier, (2004).
14. D.H. Sastry, Impression creep technique - An overview, Materials Science 12, PP.220-228, (1977).
15. S.N.G. Chu, J.C.M. Li, Impression creep; a new test, Materials Science and Engineering, A 322, PP. 23-42, (2002).
16. H. Somekawa, K. Hirai, H. Watanabe, Y. Takigawa, K. Higashi, Dislocation creep behavior in Mg-Al-Zn alloys, Materials Science and Engineering, A 407, PP. 53-61, (2005).
17. B. Nami, H. Razavi, S. Mirdamadi, S.G. Shabestari, S.M. Miresmaeili, Effect of Ca and Rare Earth Elements on Impression Creep Properties of AZ91 Magnesium Alloy, Metallurgical and Materials Transactions, A 41, PP. 1973-1982, (2010).
18. K. Hirai, H. Somekawa, Y. Takigawa, K. Higashi, Effects of Ca and Sr addition on mechanical properties of a cast AZ91 magnesium alloy at room and elevated temperature, Materials Science and Engineering, A 403, PP. 276–280, (2005).
19. F. Kabirian, R. Mahmudi, Impression creep behavior of a cast AZ91 magnesium alloy, Metallurgical and Materials Transactions, A 40, PP. 116- 127,(2009).
20. J.F. Nie, Effects of precipitate shape and orientation on dispersion strengthening in magnesium alloys, Scripta Materialia 48, PP. 1009–1015, (2003).

